

# 不連続面を有する軟岩の破壊規準

京都大学防災研究所 ○足立紀尚  
京都大学大学院 森田栄治

## 1.はじめに

軟岩といえども、実際の土木工事の対象となるのは地質分離面など、不連続面を含む岩盤である。ところどころ岩石を対象とすると、その岩石の遷移応力以下の拘束圧下で、三軸せん断により破壊し最終的に到達する残留強度状態は一つの破断面が生じ、それ以後すべていい状態である。換言すると、不連続面が岩石の力学挙動を完全に支配している状態にあると考へることができる。さらにこの場合、供試体内に生じる破断面の方向は最大主応力(圧縮応力)の作用方向に対し、最もすべり易い方向にあるから、この状態における強度は不連続面を有する岩盤の強度であるとして、その最下限値に対応するものであろう。すなはち、岩盤強度の下限値は岩石供試体の三軸試験で求める残留強度と一致するはずである。

図-1はこのことを模式的に表わしたもので、岩盤強度の上限が岩石の最大強度に、その下限が岩石の残留強度に対応し、岩盤強度は一般にその範囲内にあることを示している。切断面をよりかじく手で供試体によろ gio研究で、この実験を確認したが、不連続面の方向と最大主応力作用面との成す角度によって、岩盤強度が図-1に示す範囲内いかに変化するのかを記述する。3種類の破壊規準を求めるには至らなかった。

そこで、本研究においては、先の研究<sup>2)</sup>と同様の実験を泥岩を用いて行ない、結果に基づき破壊機構を考察することによって、不連続面の方向と主応力作用面との成す角度をパラメーターとする破壊規準を説明した。

## 2. 実験と破壊形態

実験に用いた試料は水で飽和した泥岩である。供試体は直徑5cm、高さ10cmの円柱形で、図-2に示すように軸荷重(最大主応力)作用面に対して、種々の角度θをもつ点線で表わす切断面をダイヤモンドカッターや入射式供試体と切断面のひずみ試験(intact no test)を用いて行ったが、切断面は平坦で、滑らかな面である。また、水で飽和した軟岩を対象とすることから、供試体を密閉内に水浸せしめ、24時間以上サクションをかけて脱気を行は、飽和させた。実験は1kgf/cm<sup>2</sup>から20kgf/cm<sup>2</sup>のシャーを適用し、所定の側圧 $\sigma_3'$ =1, 3, 6, 10, 20kgf/cm<sup>2</sup>で24時間等方圧密後、ひずみ制御( $\dot{\epsilon}=0.02\%/\text{min}$ )排水せん断試験として行った。

破壊形態は図-2に示すように、既存の切断面に沿ってすべり破壊するものと、切断面とは無関係に新しい破断面が生じるものに分られる。ただし、図中のCD-1は側圧1kgf/cm<sup>2</sup>の正密排水試験を意味し、以下これに準じてある。側圧が大きくなるにつれて、供試体の変形は1/4切断面ほどで破断面に沿うすべり変形から、ビア模型の変形を示す内部構造の破壊を伴う変形へと変化する。また、θ=45°の場合、CD-1, CD-3において、切断面に沿うすべり破壊であったものが、CD-6では新たに約60°の破断面を生じ破壊する。すなはち、破壊形態は切断面の角度のせいで側圧の影響を受けることである。

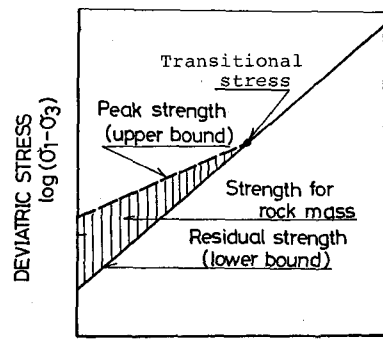


図-1. 岩石強度と岩盤強度

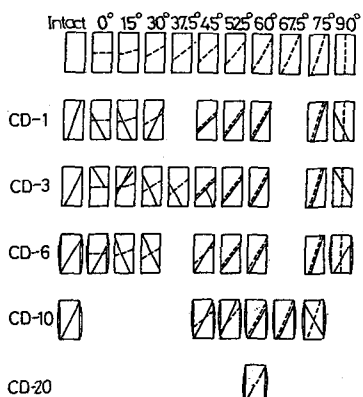


図-2. 切断面と破壊すべり面

### 3. 切断面の応力-ひずみ関係に及ぼす影響

図-3(a), (b)は側圧  $\sigma_3' = 1 \text{ kgf/cm}^2$  及び  $\sigma_3' = 10 \text{ kgf/cm}^2$  における、3軸差応力-偏差ひずみ関係と併積ひずみの変化を示す。ここで示すように、 $10 \text{ kgf/cm}^2$  以下の側圧では、破壊面が新たに生じる場合はひずみ硬化-軟化型の、切断面に沿うすべり破壊の場合にはひずみ硬化型の応力-ひずみ関係となる。しかししながら、図-3(b)で示すように側圧が  $20 \text{ kgf/cm}^2$  と高圧になると、 $\theta = 60^\circ$  の場合に力弾-完全塑性型の応力-ひずみ関係となる。

一方、側圧  $\sigma_3' = 1 \text{ kgf/cm}^2$  の併積変化をみると、破壊面が新たに生じる場合には最大強度に達する直前に膨張が現れ、かくく顕著なダイレーティングを生じるが、既存の切断面に沿うすべり破壊の場合には併積膨張の度合は小さい。しかし、側圧が高くなるほどしづかに、両者の導動の差は次第に減少する傾向を示す。

### 4. 破壊機構と破壊規準

既存の切断面が強度特性に及ぼす影響を考察してみる。既存の切断面以外に新たに切断面が生じた場合は、破壊面上に作用する垂直応力  $\sigma_z$  及びせん断応力  $\tau$  を、既存の切断面に沿うすべり破壊の場合には切断面上に作用するものとし、最大強度と残留強度時にそれ求められ。

図-4は結果を  $\sigma_z$ - $\tau$  関係として示している。結果はややばらつきがあるが、切断面の有無、切断面の角度によらず、最大強度と残留強度時の  $\sigma_z$  の場合に分けられることが明らかである。次に、この関係をべき関数関係で表わすことを図-5を調べて、最大強度及び残留強度双方について

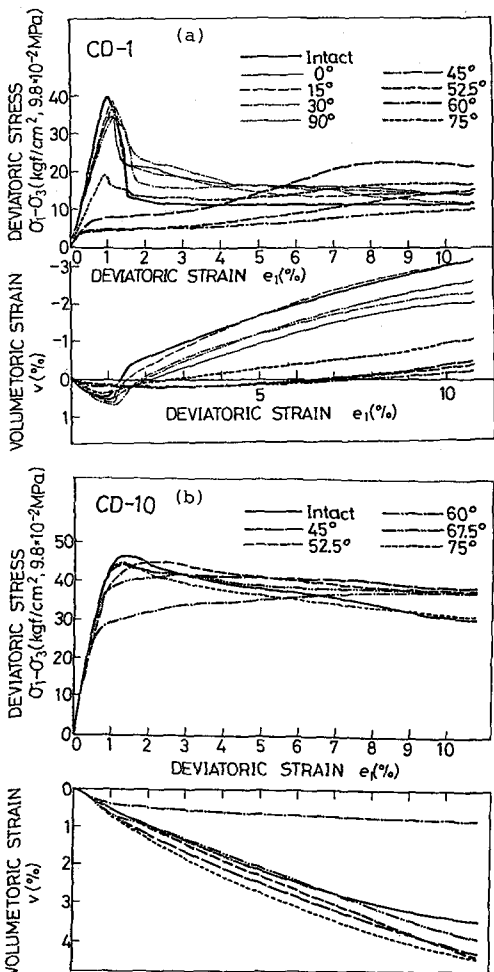


図-3. 応力-ひずみ関係と併積ひずみの変化

(a)側圧  $\sigma_3' = 1 \text{ kgf/cm}^2$ , (b)側圧  $\sigma_3' = 10 \text{ kgf/cm}^2$

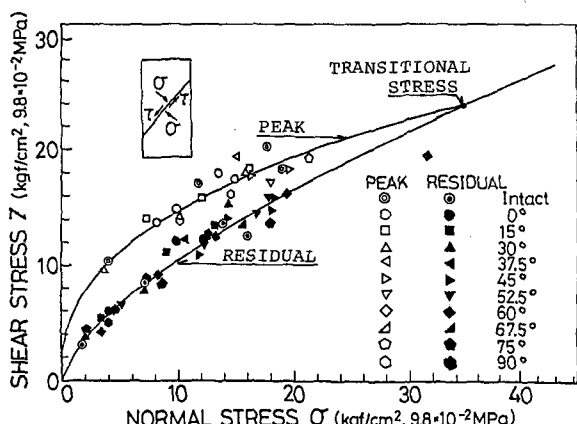


図-4. 既存の切断面とくに破壊面上の垂直応力  $\sigma_z$  及びせん断応力  $\tau$  の実験

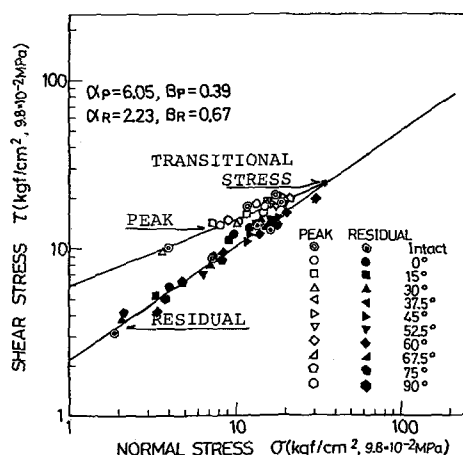


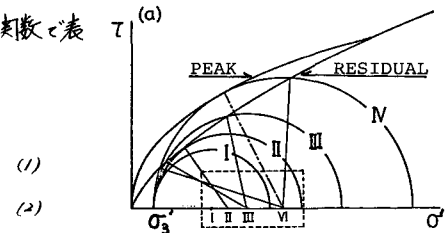
図-5. 既存の切断面をくに破壊面上の垂直応力  $\sigma_z$  及びせん断応力  $\tau$  の両対数表示

すれし、直線実験が認めらるから、 $\sigma'$ に関する破壊規準はベキ函数で表わされ、次式で与えられる。

#### (a). 最大強度

$$(\tau/\sigma'_0) = \alpha_p (\sigma'/\sigma'_0)^{\beta_p} ; \sigma' < \text{遷移応力}$$

$$(\tau/\sigma'_0) = \alpha_r (\sigma'/\sigma'_0)^{\beta_r} ; \sigma' > \text{遷移応力}$$



#### (b). 残留強度

$$(\tau/\sigma'_0) = \alpha_r (\sigma'/\sigma'_0)^{\beta_r}$$

(3)

ここに、 $\sigma'_0$ は単位応力 =  $1 \text{ kgf/cm}^2$ 、 $\alpha_p, \beta_p, \alpha_r, \beta_r$ は強度定数で、左泥岩に対する値を図-5中に与えていく。

大草の手法を導用して、切削面を有する材料の破壊機構を検討する。大草をはじめ、二種の検討には Mohr-Coulomb の規準と最大及び残留強度規準を従来用いているが、式(1)～(3)のベキ函数型の規準を適用することにして、本研究の特色である。

図-6はある側圧 $\sigma_3'$ におけるせん断過程を Mohr の応力円 I～IV で示している。せん断が進むと、Mohr の応力円は IV の状態で残留強度線に接する。

ここで、もしも供試体が角度 $\theta_{II}$ の切削面を有していれば、この応力状態で供試体は切削面に沿うすべり破壊を生じるが、intact rock や $\theta_{II}$ 以外の角度の切削面をもつ供試体では破壊しない。したがって、intact rock と角度 $\theta_{II}$ 以外の切削面をもつ供試体はさらに応力を増加して、IV の状態に達する。この状態で、供試体が角度 $\theta_{III}$ が $\theta_{II}$ の切削面をもつていても、切削面に沿うすべり破壊が始まるが、この角度の範囲内の切削面をもつ供試体はこれまですべり破壊してしまっている。この応力状態まで、既存の切削面に沿うすべり破壊を生じない場合、応力はさらに増加して、応力円 IV の状態で最大強度線に接する。角度 $\theta_{II}$ と $\theta_{III}$ の範囲内、切削面を有する供試体はこの応力状態に至らずに、切削面に沿うすべり破壊を生じていいが、それ以外の角度をもつ供試体と intact rock は $\theta_{IV}$ の角度の切削面が新たに生じ破壊することになる。したがって、ある側圧 $\sigma_3'$ において、切削面に沿うすべり破壊を生じる切削面の角度は $\theta_{II} < \theta < \theta_{III}$ となるが、最大強度線及び残留強度線は曲線で、かつ平行ではないからすべり破壊を生じる切削面の角度の範囲は側圧とともに変化することになる。

図-7は $\theta_{II} = \theta_1, \theta_{III} = \theta_2, \theta_{IV} = \theta_0$ として、それらが側圧とともにいかに変化するかを示すが、切削面に沿うすべり破壊を生じる切削面の角度は側圧の増大にしたがい、次第にその範囲を狭めることが明らかである。図には実験結果を示してあり、黒印は既存の切削面に沿うすべり破壊を、白印は新しく破削面を生じて破壊する場合を表すが、一般に図-6で説明した破壊機構が成立するといえる。例えば、 $\theta = 45^\circ$ の切削面をもつ供試体に用いては、側圧 $\sigma_3' = 1, 3 \text{ kgf/cm}^2$ の場合、切削面に沿うすべり破壊であるが、側圧が $6 \text{ kgf/cm}^2$ になると新しく破削面を生じる破壊となり、限界角 $\theta_0$ はほぼこの傾向を説明できること。

図-8は新しく生じる破削面の角度 $\theta_0$ が側圧によつて

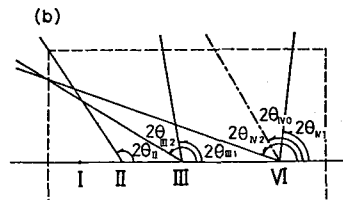


図-6. Mohr の応力円で表わして  
せん断過程、(a)破壊線と Mohr の応力円、(b) Mohr の応力円  
中心部の拡大図

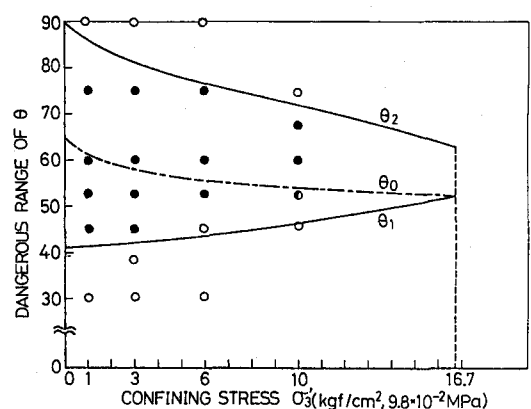


図-7. すべり破壊を生じる切削面の角度の側圧による変化

いかに変化するかを実験結果とともに示してある。

破壊規準は  $\theta$  ～  $\theta_3$  の範囲以外に、図-1 の  $\theta$  ～  $\theta_3$  の範囲で  $\theta_1$  ～  $\theta_2$  の範囲で平均有効応力  $\sigma_m'$  との関係で与えることも、また  $(\sigma_i - \sigma_3)/2 - (\sigma_i + \sigma_3)/2$  の範囲で与えることもある。式(1)～(3)の破壊規準を  $(\sigma_i - \sigma_3)/2 - (\sigma_i + \sigma_3)/2$  の範囲で書き改めると次式が求まる。

- (a). 角度  $\theta$  の切断面に沿うすべり破壊が生じる場合、  
(最大強度 = 残留強度)

$$(\frac{g \sin 2\theta}{2\sigma_{mo}'})^{1/\beta_R} = \alpha_R (\sigma_m'/\sigma_{mo}' + g \cos 2\theta / 2\sigma_{mo}') \quad (4)$$

- (b). 切断面に関係なく、新しく角度  $\theta$  の破壊面が生じる場合、  
(最大強度)

$$(\frac{g \sin 2\theta_0}{2\sigma_{mo}'})^{1/\beta_P} = \alpha_P (\sigma_m'/\sigma_{mo}' + g \cos 2\theta_0 / 2\sigma_{mo}') \quad (5)$$

(残留強度)

$$(\frac{g \sin 2\theta_0}{2\sigma_{mo}'})^{1/\beta_R} = \alpha_R (\sigma_m'/\sigma_{mo}' + g \cos 2\theta_0 / 2\sigma_{mo}') \quad (6)$$

ここで、 $g = (\sigma_i - \sigma_3)$ ,  $\sigma_m' = (\sigma_i + \sigma_3)/2$ ,  $\sigma_{mo}'$  = 単位応力 =  $1 \text{ kgf/cm}^2$  である。

図-9は式(4)～(6)に強度定数を代入して求まる各種角度、切断面をもつ供試体の最大強度線を示しているが、いずれも太い実線で与え、intact rock の最大強度線と残留強度線の間に位置することができる。

図-10は図-9の両対数表示である、図-1 に対応してある。

## 5. おわりに

以上の議論で求まる結論は Mohr の破壊に対する考え方を用いて、 $\theta$  ～  $\theta_3$  の範囲で破壊規準を求めれば、岩石、岩盤にかかわらず、最大強度と残留強度の二つで表すことができる。他方、軸差応力と平均応力の関係で破壊規準を求めるとき、図-10 に示したように、岩盤強度は岩石の最大強度と上限値、残留強度を下限値とし、一般には不連続面の主応力面との成す角度によって、それより中间の位置するものである。

## 参考文献

- 足立紀尚、小川豊和、堆積軟岩の力学特性と破壊規準、土木学会論文報告集、No.295、pp.51～63、1980.
- 足立紀尚、林 正之、軟岩の力学特性及び不連続面の影響、土木学会論文報告集、No.305、pp.97～110、1981.
- Okusa, S., Strength and Earth Pressure of Rock with Weak Plane, Soils and Foundations, Vol. 8, No. 1, pp. 69-79, 1968.

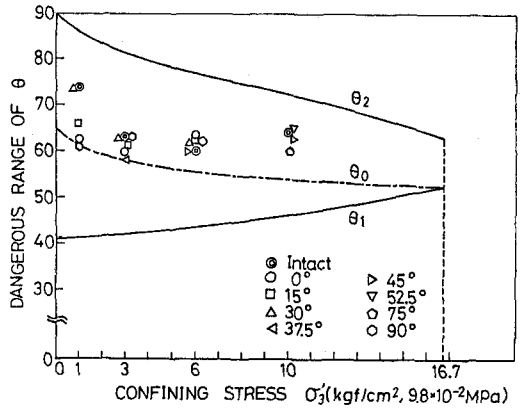


図-8 新しく生じる破壊面の角度の側圧への変化

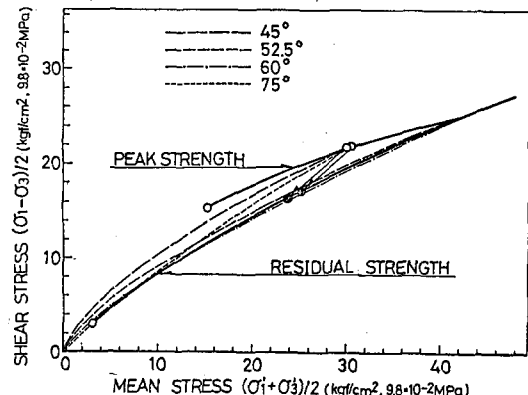


図-9.  $\theta/2 \sim \sigma_m'$  関係における intact rock の最大、残留強度と切断面をもつ供試体の最大強度

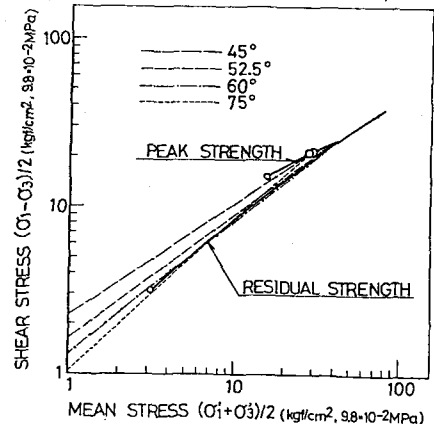


図-10. 図-9 の両対数表示

## MECHANICAL BEHAVIOR AND FAILURE CRITERION OF JOINTED SOFT ROCK

Toshihisa ADACHI  
Eiji MORITA  
(Kyoto University)

Even for soft rocks, material actually considered in civil engineering projects is the rock mass with discontinuous planes, such as fissures and joints. It is less possible that an intact rock itself is of interest. After the rock specimen fails under confining pressure lower than the transitional stress of the rock, it reaches the residual strength state with further shear deformation. A single shear plane occurs, and the specimen is sliding along this plane. In other words, the residual strength state may be considered to reflect the case where the mechanical behavior of the material is entirely dominated by discontinuous plane. Furthermore, the failure plane which occurs in the specimen is in the easiest direction for failure to occur to the direction of maximum principal stress. Therefore, the strength in this stage may coincide with the maximum strength of the rock mass with discontinuous planes. Namely, the lower bound of the rock mass strength should coincide with the residual strength obtained by the triaxial test. This is schematically illustrated in Fig.1. It can be also seen that the upper bound of the rock mass strength corresponds to the peak strength of intact rock, whereas the lower limit is bounded by the residual strength, and the rock mass strength in the field lies at least within these limits.

In the previous study, this point of view for the rock mass strength was confirmed by conducting the tests on specimens each of which had a pre-cut plane. However, we did not obtain the definite failure criterion that was able to explain where the rock mass strength lay in the range given in Fig.1 due to the angle between the direction of discontinuous plane and the maximum principal stress plane.

In this study, by carrying out the similar triaxial tests with a mud stone, a failure criterion was derived for soft rock with discontinuous planes based upon the angle between directions of discontinuous plane and of principal stress plane as a parameter.

As shown in Fig.2, the failure configurations were divided into two categories, namely, in the first one failure took place by sliding along the pre-cut plane, while in the second a new sheared off plane other than pre-cut plane developed by failure. In order to make clear the failure mechanism and to derive the failure criterion for the material with discontinuous plane, first of all for the case of sliding failure along the pre-cut plane the effective normal stress  $\sigma'$  and shear stress  $\tau$  acting on the plane are obtained at both the peak and residual strength states, respectively. Similarly, for the case of new sheared off plane developed by failure  $\sigma'$  and  $\tau$  acting on the plane are also calculated at both strength states. Data were plotted on log-log scale paper to obtain a failure criterion for both the peak and residual strengths in Fig.5. It is seen in the figure that each relation for the peak and residual strengths is expressed by a straight line. Based upon the aforementioned results, new failure criterion represented by the relationship of  $\sigma'$  and  $\tau$  is given by Eqs.(1)-(3). It can be said that in the case when the strength criterion for soft rock expressed by the relationship between  $\sigma'$  and  $\tau$ , it is good enough to give two relations for each of the peak and residual strength states irrespective of intact rock or rock mass.

By using thus obtained failure criterion, the failure mechanism of specimen with pre-cut plane is discussed by using Fig.6. As the results, it is found that sliding failure along pre-cut plane would occur only when the angle of the plane  $\theta$  lies between  $\theta_1$  and  $\theta_2$ . However, the range of angle decreases with the increase of confining pressure level since the peak strength line is not parallel to the residual strength line when the confining pressure is less than the transitional stress of the material. Fig.7 makes the comparison of thus obtained bounded angles with the experimental results. And it can be said that the failure mechanism discussed in Fig.6 well explain the experimental evidences.

When the failure criterion is expressed by the relationship between stress deviator  $q = (\sigma_1 - \sigma_3)/2$  and mean effective normal stress  $\sigma'_n = (\sigma'_1 + \sigma'_3)/2$ , it can be seen that the upper bound of the rock mass strength corresponds to the peak strength of intact rock, while the lower limit is bounded by the residual strength as shown in Fig.10.